



ต้นแบบเครื่องตรวจวัดแรงกดฝ่าเท้า

Prototype of foot pressure monitor

น.ท.พิศณุ คุณมีชัย¹, นนร.รัชฎา หนันดุน², นนร.จิระภัทร อุ่นคำเที่ยง³, นนร.คชินทร์ บุญทรัพย์⁴

¹สถาบันผู้ดูแลจัดการ (กองวิชาวิศวกรรมศาสตร์ ฝ่ายศึกษา โรงเรียนนายเรือ จ.สมุทรปราการ 10270)

²สถาบันผู้ดูแลจัดการ (กองวิชาวิศวกรรมศาสตร์ ฝ่ายศึกษา โรงเรียนนายเรือ จ.สมุทรปราการ 10270)

³สถาบันผู้ดูแลจัดการ (กองวิชาวิศวกรรมศาสตร์ ฝ่ายศึกษา โรงเรียนนายเรือ จ.สมุทรปราการ 10270)

⁴สถาบันผู้ดูแลจัดการ (กองวิชาวิศวกรรมศาสตร์ ฝ่ายศึกษา โรงเรียนนายเรือ จ.สมุทรปราการ 10270)

Correspondence Author : น.ท.พิศณุ คุณมีชัย, 080-5246539

Email : pisantu41984198@hotmail.com

บทคัดย่อ

การกระจายแรงกดฝ่าเท้าเชิงพื้นที่เป็นมาตรการที่สำคัญและมีประโยชน์ในการประเมินรองเท้ากีฬา การฝึกอบรมการวิเคราะห์การเดินทางคลินิกและการวินิจฉัยโรคเท้า แต่การวัดและวิเคราะห์ความดันฝ่าเท้า ด้วยอุปกรณ์ในปัจจุบันมีราคาแพง กระดายแผ่นนี้นำเสนอการวัดและวิเคราะห์ความดันฝ่าเท้าในรองเท้าระบบ ที่ใช้เซนเซอร์วัดน้ำหนัก (Load Cell) ตอกับ HX711 เพื่อขยายสัญญาณสำหรับการหาแรงกดฝ่าเท้าเชิงพื้นที่ และช่วยรวมทั้งเท้าชายจำนวน 4 ตัวและเท้าขวาจำนวน 4 ตัวและใช้มicrocontrollerในการประมวลผล และการกระจายตัว ซอฟต์แวร์การแสดงผลและการวิเคราะห์แบบเรียลไทม์คือนำเสนอเพื่อคำนวณพารามิเตอร์ เช่น ความดันเฉลี่ยสูงสุด ความดันศูนย์กลางของความดัน (COP) และความเร็วในการเปลี่ยน COP ผลการทดลองแสดงให้เห็นว่าระบบนี้มีเสถียรภาพในการทำงานการวัดทั้งแบบคงที่และแบบไดนามิก และมีราคาที่ค่อนข้างถูกเมื่อเทียบกับอุปกรณ์ที่มีขายในปัจจุบัน

คำสำคัญ : การกระจายแรงกดฝ่าเท้า, วิเคราะห์ความดันฝ่าเท้า, เซนเซอร์วัดน้ำหนัก

Abstract

Spatial foot pressure distribution was an important and useful measure in sports footwear assessment, training, trip analysis, clinic and pedophilia diagnosis. But measuring and analyzing plantar pressure with today's devices was expensive. This paper presented foot pressure measurement and analysis in shoes, a load cell system connected to HX711 to





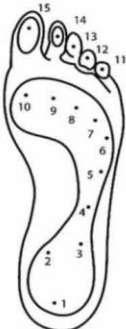
amplify the signal for determining spatial and transient foot pressure on both the left and the right four feet. 4, and using microcontrollers for processing and dispersing. The real-time display and analysis software were presented to calculate parameters such as maximum average pressure. Center pressure (COP) pressure and COP transition speed. Experimental results show that this system was stable in both static and dynamic measurement performance. And the price was relatively cheap compared to the equipment currently sold.

Keywords : Spatial foot pressure, foot pressure, load cell

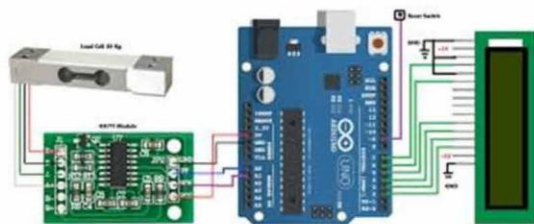
1. บทนำ

แรงกดฝ่าเท้า คือแรงกดบนพื้นหัวนิ้วเท้าที่เท้าของมนุษย์ประสบในระหว่างกิจกรรมประจำวัน ครั้งแรก มีนักวิจัย [1] เพื่อตรวจสอบประสิทธิภาพของรองเท้าบําบัดและรองเท้ากีฬามีและไม่มี insoles viscoelastic โดยใช้ค่าเฉลี่ยความดันฝ่าเท้าสูงสุดเป็นพารามิเตอร์ หลักเกณฑ์ได้รับจาก Mueller สำหรับการประยุกต์ใช้การประเมินแรงกดฝ่าเท้าในการประเมินและออกแบบรองเท้าสำหรับผู้ที่ไม่มีความบกพร่อง [2] แอปพลิเคชันที่สองเกี่ยวข้องกับการฝึกกีฬา เฟรดเดอริกและอาร์ทนอร์พายามาที่จะตระหนักถึงความฝันของพากษาในการปรับให้เหมาะสมสมมารถสามารถดันกีฬาด้วยเช่นความดันฟิล์มบางและหารดแวร์เก็บข้อมูลราคาไม่แพง [3] หลังจากปี 2000 มีรายงานการวิจัยเพิ่มเติมเกี่ยวกับความดันฝ่าเท้าของนักกีฬาวิเคราะห์เพื่อปรับปรุงความสำเร็จในการเล่นกีฬา เช่น การฝึกการทรงตัวของฟุตบอล [4] และการโหลดเท้าระหว่างการวิ่ง [5] การวิเคราะห์การเดินทางคลินิกการตรวจสอบรูปแบบการเดินเป็นแอปพลิเคชันที่สาม Morris และ Paradiso ได้พัฒนาระบบเชื่อมโยงที่รวมรองเท้าสำหรับการวิเคราะห์การเดินแบบไร้สายและแบบเรียลไทม์ข้อมูลแบบเรียลไทม์ซึ่งการกระจายแรงกดซึ่งพื้นที่ของเท้าเป็นใช้ในการจดจำรูปแบบและการวิเคราะห์ตัวเลข [6] ใช้การกระจายความดันฝ่าเท้าเพื่อตรวจสอบรูปแบบการเดิน: การเดินดินน้ำเท้าเข้าน้ำเท้าออกการเดินมากเกินไปและการเดินด้วยส้นเท้าการเดินผิดปกติ [7] ความดันฝ่าเท้าถูกนำมาใช้ในการประเมินพยาธิวิทยาของเท้า เช่นการวินิจฉัยเท้าแบน [8,11,12] การประเมินโรคเบาหวานที่เท้า การวิเคราะห์การเดิน [13] เป็นต้น สำหรับไนโตรมิเกรนรองเท้า การกระจายความดันข้ามครัวและเชิงพื้นที่ซึ่งใช้สำหรับการวิเคราะห์เส้นร้าวพากการเดินแบบไนโตรมิเกรน [15] การตรวจสอบการเดิน [16] และการเปลี่ยนแปลงลักษณะการเดินระหว่างวิ่ง [17] อย่างไรก็ตามทั้งสองระบบใช้สายไฟฟ้าในการเชื่อมต่อเข็นเชื่อมในรองเท้าและระบบเก็บข้อมูลรอบเอวซึ่งทำให้เกิดความไม่สะดวกและไม่สบายในระหว่างที่ต้องออกแรงการออกกำลังกายไม่เหมาะสมสำหรับการวัดกลวงแจ้งระยะยาว ระบบเชื่อมโยงโครงสร้างรองเท้าแบบไร้สายคือพัฒนาขึ้นสำหรับการวิเคราะห์การเดินและข้อมูลแบบเรียลไทม์ [6] ในระบบอุปกรณ์เชื่อมถูกใช้เป็นหน่วยตรวจจับซึ่งไม่สามารถถอดได้เป็นเวลานานนี้ของความเห็นอุปกรณ์ ลักษณะของหน่วยตรวจจับ ระบบการเก็บข้อมูลคือมีขนาดใหญ่และไม่สามารถกำหนดค่าให้เชื่อมต่อกับอุปกรณ์ อีกหนึ่งเครื่องรับสัญญาณระยะไกลได้





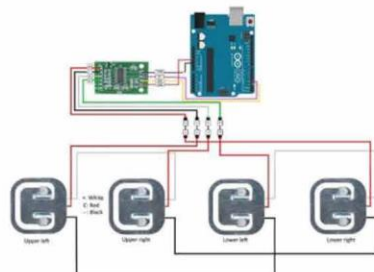
ภาพที่ 1 พื้นที่ทางกายวิภาคของเท้า



ภาพที่ 2 อุปกรณ์ที่ใช้ในการทำงานของระบบ

2. วิธีการ

2.1 ระบบเก็บข้อมูล ในงานวิจัยนี้รับค่าข้อมูลมาจาก 4 load cell ต่อ 1 เท้า โดยในการต่อวงจรตามภาพที่ 3



ภาพที่ 3 การต่อ 4 load cell กับ 1 Arduino

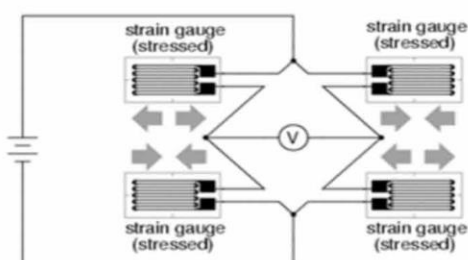
2.2 อุปกรณ์ที่ใช้

2.2.1 โหลดเซลล์เป็นตัวแปลงสัญญาณที่ใช้ในการแปลงแรงทางกลเป็นเอาต์พุตสัญญาณไฟฟ้า เช่นเซอร์วิมีเตอร์วัดความเครียดสีตัวในวงจรสะพานวีทสโตรน เมื่อแรงหรือโหลดถูกนำไปใช้กับโหลดเซลล์มتر วัดความเครียดทำให้เกิดการเปลี่ยนแปลงทางไฟฟ้าความต้านทานด้วยแรงดันไฟฟ้าตามสัดส่วนการ

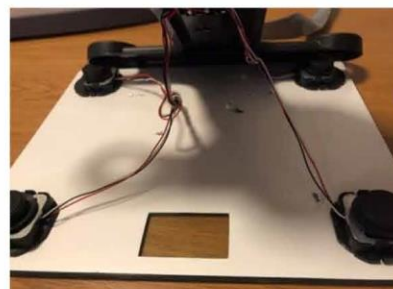


เปลี่ยนแปลงความต้านทานของมาตรวัดความเครียด สัญญาณเอาร์พุตเป็นของคำสั่งหلامิลลิโวอล์ต จำเป็นต้องใช้เครื่องขยายเสียงสัญญาณแอมเพลฟายเออร์ HX711 ที่มีความแม่นยำ 24 บิต ตัวแปลงดิจิตอล anaล็อก (ADC) โดยเฉพาะออกแบบมาสำหรับโหลดเซลล์และการใช้งานในอุตสาหกรรมควบคุมด้วยความสามารถในการเชื่อมต่อโดยตรง [15] ข้อมูลที่ประมวลผลคือส่งไปยังบอร์ดประมวลผลบอร์ด Arduino

Full-bridge strain gauge circuit



ภาพที่ 4 มาตรวัดความเครียดสีตัวในสเปชานวีทส์โตนการกำหนดค่า [1]



ภาพที่ 5 โหลดเซลล์ 4 ตัว



ภาพที่ 6 เครื่องขยายเสียงสัญญาณแม่พลิฟายเออร์





2.2.2 ซอฟต์แวร์ Arduino IDE Arduino IDE

เป็นการพัฒนาแบบบูรณาการสภาพแวดล้อมที่มีโปรแกรมแก้ไขข้อความ มีแถบเครื่องมือสำหรับฟังก์ชันเมนูและชุดเมนูโดยตรงซึ่งมีต่อ กับ ardunio IDE เพื่อสื่อสารโดยการอัปโหลดโปรแกรม [16] โปรแกรม Arduino ประกอบด้วยสิ่งที่จำเป็นทั้งหมดสำหรับการวัดน้ำหนัก เช่นเดียวกับการคำนวณปริมาณของร่างกาย

2.3 การทดสอบ

หลังจากดำเนินการทดสอบแล้วต้องโหลดไฟล์โปรแกรมหลักลงในบอร์ด Arduino วัตถุประสงค์ของโปรแกรม คือการหาโหลดเซลล์ทดสอบซึ่งเป็นลักษณะเฉพาะของเซ็นเซอร์ประเภทนี้ ๆ จากปัจจัยนี้ข้อมูลจะได้รับในรูปแบบหน่วยน้ำหนักตามลำดับในกรณีนี้เป็นกรัมตามสูตรต่อไปนี้ซึ่งกำหนดไว้ในรหัสโปรแกรม

$$y = mx + b \quad (1)$$

ที่ซึ่ง y แสดงน้ำหนักจริงเป็นกรัม x เป็นค่าคร่าว ๆ ที่ได้รับจาก HX711 เครื่องขยายเสียง กะ เป็นปัจจัยการสอบเทียบ และ b แสดงถึงจุดกระฉับในการหา

3. การประมวลผลข้อมูล

ในการรับข้อมูลเหตุการณ์ค่าความด้านทานของเซ็นเซอร์จะถูกดึงออกมายจากเซ็นเซอร์น้ำหนัก (load cell) หลังจากนั้นค่าหน้าหนักการจัดเก็บข้อมูลและค่าจazole คำนวณโดยโปรแกรม Arduino ค่าเซ็นเซอร์น้ำหนัก (load cell) เหล่านี้แสดงเป็นเส้นโค้งเคลื่อนที่ในแผนภูมิแบบเรียลไทม์ มีการกำหนดสีต่าง ๆ ไปยังตำแหน่ง เซ็นเซอร์แต่ละตำแหน่งโดยพิจารณาจากแบบสีระดับน้ำหนัก (load cell) พารามิเตอร์การวิเคราะห์คือความตันเฉลี่ยในสมการที่ 2 และ 3 ความตันสูงสุดศูนย์ความตัน (COP) ในสมการที่ 4 และ 5 และคำนวณความเร็วของ COP ในสมการที่ 6 และตามลำดับ พารามิเตอร์คำนวณโดยสมการต่อไปนี้

$$\text{Mean} = \frac{1}{N} \sum_{i=1}^n P_i \quad (2)$$

$$\text{Peak} = \text{Max}(P_1, \dots, P_i, \dots, P_n) \quad (3)$$

$$X_{cop} = \frac{\sum_{i=1}^n X_i P_i}{\sum_{i=1}^n P_i} \quad (4)$$

$$Y_{cop} = \frac{\sum_{i=1}^n Y_i P_i}{\sum_{i=1}^n P_i} \quad (5)$$

$$\text{Speed}_{cop} = \frac{\mu}{\Delta t} (|X_{cop}(t + \Delta t) - X_{cop}(t)|^2 + |Y_{cop}(t + \Delta t) - Y_{cop}(t)|^2)^{1/2} \quad (6)$$

โดยที่ μ หมายถึงจำนวนเซ็นเซอร์ทั้งหมดดันหมายถึงค่าหนึ่งเซ็นเซอร์ X, Y คือพิกัดของพื้นที่รูปเท้าทั้งหมด Δt คือระยะเวลาที่ของหน่วยระหว่างจุดประสานเพื่อบ้านสองจุดและ Δt หมายถึงช่วงเวลา





4. ผลการทดลองและการอภิปราย

ผลการทดลองที่นำเสนอได้มาจากการวัดแรงกดฝ่าเท้าข้างต้นและระบบการวิเคราะห์ด้วยความดันเฉลี่ยสูงสุด ความดันสูงสุดคุณ্যความดัน (COP) และความเร็วในการเปลี่ยน COP โดยใช้ Arduino ในการประมวลผล เพื่อตรวจพบปัจจัยการสอบเที่ยบที่ถูกต้องแล้วโปรแกรมหลักและโหลดลงในบอร์ด Arduino ขั้นตอนต่อไปเพื่อดำเนินการประกอบด้วยการทดสอบulatory ตารางที่ 1 ผู้ทดลองต้องดำเนินการสืบอย่าง: ยืนปกติ ยืนบนขาข้างหนึ่ง และการยืนแบบก้าวเท้าซึ่งเป็นพื้นฐานในกิจกรรมปกติ ตาราง 2แสดงให้เห็นว่าความแตกต่างโดยเฉลี่ยคือ 6.94 % ในขณะที่ความแตกต่างของการยืนปกติและการทดสอบการยืนขาเดียวจะสูงกว่าผลลัพธ์แสดงว่าจุดกด 4 จุดนี้ข้อผิดพลาดในการวัดในตำแหน่งของ COP อยู่ในระดับต่ำการเพิ่มเข็นเชอร์เพิ่มเติมภายใต้อาจลัดข้อผิดพลาดได้ออก สำหรับประสิทธิภาพแบบเดนามิกของการวัด COP

ตารางที่ 1 ความแตกต่างที่เกี่ยวข้อง COP (เป็นper cent)

คนที่ (ครั้งที่)	1(1)	1(2)	2(1)	2(2)	3(1)	3(2)	4(1)	4(2)	5(1)	5(2)	ค่าเฉลี่ย	ค่าเฉลี่ยโดยรวม
การยืนแบบปกติ	7.7	8.4	8.2	9.2	7.8	11.6	9.4	12.0	8.5	10.7	9.3500	6.94
การยืนขาเดียว	9.8	10.5	12.7	10.3	8.1	9.3	11.4	13.4	11.8	14.6	11.1900	
การยืนแบบก้าวเท้า	0.8	0.8	0.4	0.0	0.0	0.2	0.5	0.0	0.0	0.1	0.2800	

5. สรุปผลการทดลอง

จากการทดสอบและผลลัพธ์ได้รับเป็นที่ยอมรับว่า Arduino ระบบวัดแรงกดเชิงพื้นที่มีการเบี่ยงเบนของระบบซึ่งไม่มีนัยสำคัญในการใช้งานระบบ ความเบี่ยงเบนส่วนใหญ่เกิดจากการขาดการจัดหาระบบในตัวเองรวมทั้งการขาดการป้องกันการเดินสายของโหลดเซลล์

6. เอกสารอ้างอิง

- [1] L. A. Lavery, S. A. Vela, J. G. Fleishli, D. G. Armstrong, and D. C. Lavery. (1997) "Reducing plantar pressure in the neuropathic foot—A comparison of footwear," Diabetes Care, vol. 20, no. 11, pp. 1706–1710, 1997.
- [2] M. J. Mueller.(1999). "Application of plantar pressure assessment in footwear and insert design," J. Orthop. Sports Phys. Therapy, vol. 29, no. 12,pp. 747–755, 1999.





- [3] E. C. Frederick and K. P. Hartner.(1993) “**The evolution of foot pressure measurements,**” Sens. Mag., vol. 10, no. 6, pp. 30–35, 1993.
- [4] A. Gioftsidou, P. Malliou, G. Pafis, A. Beneka, G. Godolias, and C. N. Maganaris. (2006). “**The effects of soccer training and timing of balance training on balance ability,**” Eur. J. Appl. Physiol., vol. 96, no. 6, pp. 659–664, 2006.
- [5] R. M. Queen, B. B. Haynes, W. M. Hardaker, and W. E. Garrett, Jr.(2007). “**Forefoot loading during 3 athletic tasks,**” Amer. J. Sports Med., vol. 35,no. 4, pp. 630–636, 2007.
- [6] S. J. Morris and J. A. Paradiso.(2007). “**Shoe-integrated sensor system for wireless gait analysis and real-time feedback,**” in Proc. 24th Annu. Conf. Annu. Fall Meet. Biomed. Eng. Soc. EMBS/BMES Conf., Houston, 2002, pp. 2468–2469.
- [7] M. Chen, B. Huang, and Y. Xu. (2008). “**Intelligent shoes for abnormal gait detection,**” in Proc. IEEE Int. Conf. Robot. Autom., Pasadena, 2008, pp. 2019–2024.
- [8] J. M. Tareco, N. H. Miller, B. A. Macwilliams, and J. D. Michelson. (1999). “**Defining flatfoot,**” Foot Ankle Int., vol. 20, no. 7, pp. 456–460, 1999.
- [9] R. M. Stess, S. R. Jensen, and R. Mirmiran. (1997). “**The role of dynamic plantar pressures in diabetic foot ulcers,**” Diabetes Care, vol. 20, no. 5, pp. 855–858, 1997.
- [10] T. G. McPoil, W. Yamada, W. Smith, and M. Cornwall. (2001). “**The distribution of plantar pressures in American Indians with diabetes mellitus,**” J. Amer.Podiatric Med. Assoc., vol. 91, no. 6, pp. 280–287, 2001.
- [11] U. Kanatlı, H. Yetkin, and S. Bolukbasi. (2003). “**Evaluation of the transverse metatarsal arch of the foot with gait analysis,**” Arch. Orthop. Trauma Surg., vol. 123, no. 4, pp. 148–150, 2003.
- [12] E. D. Lemaire, A. Biswas, and J. Kofinan. (2006). “**Plantar pressure parameters for dynamic gait stability analysis,**” in Proc. 28th Annu. Int. Conf. IEEE Eng. Med. Biol. Soc. (EMBS), New York, 2006, pp. 4465–4468.
- [13] P. Catalfamo, D. Moser, S. Ghousayni, and D. Ewins. (2008). “**Detection of gait events using an F-Scan in-shoe pressure measurement system,**” Gait Posture, vol. 28, no. 3, pp. 420–426, 2008.
- [14] P. W. Kong and H. D. Heer. (2009). “**Wearing the F-Scan mobile in-shoe pressure measurement system alters gait characteristics during running,**” Gait Posture, vol. 29, no. 1, pp. 143–145, 2009
- [15] Avia Semiconductor.https://cdn.sparkfun.com/datasheets/Sensors/ForceFlex/hx711_english.pdf

